

Социально-экономические
проблемы электропривода

Теория электропривода

Системы промышленного
электропривода

Элементы электропривода

Диагностика
электроприводов

Энергетика
и энергосбережение

Силовая электроника

Информация

Вестник Национального технического университета «ХПИ»

ISSN 2079-3944

Выпуск
12'2015

ПРОБЛЕМЫ АВТОМАТИЗИРОВАННОГО ЭЛЕКТРОПРИВОДА ТЕОРИЯ И ПРАКТИКА

ПРОБЛЕМИ АВТОМАТИЗОВАНОГО ЕЛЕКТРОПРИВОДУ

Teoria i praktika

PROBLEMS OF AUTOMATED ELECTRODRIVES

Theory and practice

СИЛОВАЯ ЭЛЕКТРОНИКА И ЭНЕРГОЭФФЕКТИВНОСТЬ

СИЛОВА ЕЛЕКТРОНІКА ТА ЕНЕРГОЕФЕКТИВНІСТЬ

POWER ELECTRONICS AND ENERGY EFFICIENCY



НТУ «ХПИ»

Министерство образования и науки Украины

ВЕСТНИК

**Национального технического университета
«Харьковский политехнический институт»**

Выпуск 12 (1121)
Основан в 1961 г.

ПРОБЛЕМЫ АВТОМАТИЗИРОВАННОГО ЭЛЕКТРОПРИВОДА ТЕОРИЯ И ПРАКТИКА

СИЛОВАЯ ЭЛЕКТРОНИКА И ЭНЕРГОЭФФЕКТИВНОСТЬ

Тематический выпуск, посвященный 130-летию НТУ «ХПИ»
и 85-летию кафедры
«Автоматизированные электромеханические системы»

Харьков 2015

УДК 62-83-52-0313

Вісник Національного технічного університету «Харківський політехнічний інститут». — Харків:
НТУ «ХПІ», 2015, 12 (1121). — 572 с.

У Віснику надані результати наукових досліджень і розробок, виконані викладачами, докторантами та аспірантами вищої школи, НАН України, науковими співробітниками науково-дослідних і проектно-конструкторських організацій, працівниками промислових підприємств, а також рекомендовані редакцією статті з проблем автоматизованого електроприводу, силової електроніки та підготовки кадрів з напрямку «Електромеханіка». Викладено нові методи аналізу і синтезу електромеханічних систем, розробки сучасних промислових електроприводів, їхніх елементів та діагностики. Значна увага приділена питанням енергозбереження. Розглянуто аспекти застосування сучасних систем силової електроніки, новітні схемотехнічні рішення та алгоритми керування енергоефективних перетворювачів та систем на їх основі. Висвітлено питання поліпшення електромагнітної сумісності таких систем, а також систем на базі накопичувачів великої ємності.

The Bulletin presents results of research and application developments accomplished by lecturers, doctors, and post-graduate students of higher education institutes as well as by specialists of National Academy of Sciences of Ukraine, research and design bureaux, and industrial enterprises. Also articles on problems of automated electric drive, power electronics and electromechanical engineers training recommended by the Editorial Board are included. The issue introduces new techniques of both analysis and synthesis of electromechanical systems, development and diagnostics of modern industrial electric drives and their components. Much attention is paid to problems of energy saving. Aspects of power electronics modern systems application, the newest circuit-engineering decisions and control algorithms of energy-efficient converters and its systems are considered. The question of such systems electromagnetic compatibility improvement, and also systems on the basis of the big capacity accumulators is observed.

Редакційна колегія: академік НАН України А.В. Кириленко, академік НАН України Б.С. Стогній, член-корр. НАН України Є.І. Сокол, член-корр. НАН України В.Ю. Розов, д.т.н. Л.В. Акімов, д.т.н. О.С. Бешта, д.т.н. В.А. Водічев, д.т.н. Р.П. Герасимяк, д.т.н. В.В. Грабко, д.т.н. В.Т. Долбня, д.т.н. Г.Г. Жемеров, д.т.н. В.Б. Клепіков (головний редактор), проф. С.Ю. Кривошеев, д.т.н. Б.І. Кузнецов, д.т.н. О.Ю. Лозинський, проф. О.І. Мотченко, к.т.н. О.В. Осічев (відповідальний секретар), д.т.н. С.М. Пересада, д.т.н. Д.Й. Родькін, д.т.н. О.В. Садової, д.т.н. О.І. Толочко, д.т.н. О.П. Чорний, проф. В.М. Шамардина, д.т.н. М.М. Юрченко.

Адреса редакційної колегії: 61002, м. Харків, вул. Фрунзе, 21
Національний технічний університет «Харківський політехнічний інститут»,
тел. (057) 707-62-26, 707-69-74, 707-64-45

**Рекомендовано до друку Вченою радою
Національного технічного університету
«Харківський політехнічний інститут»
протокол № 7 від « 3 » липня 2015 р.**

Омельченко О.В., Козлов В.С.	
Силовий активний фільтр із системою екстремального регулювання	439
Щербак Я.В., Івакина Е.Я., Панченко В.В.	
Імпульсна модель выпрямителя с двухсторонней широтно-импульсной модуляцией в режиме непрерывного тока	443
Кушнір А. П., Оксентюк В. М., Стефанович Т. О., Щербовських С. В.	
Модель надійності для аналізу причин непрацездатності системи повороту платформи пожежного автопідйомника	449
Ягуп В.Г., Ягуп Е.В.	
Електропитання асинхронного двигуна в системі з силовим активним фільтром, управляемим по оптимізаціонному алгоритму	453
Супруновская Н.И., Щерба А.А., Иващенко Д.С., Белецкий О.А.	
Зависимость энергоэффективности цепей разряда суперконденсаторов на линейную активную нагрузку от условий прерывания разрядных токов	458
Белоха Г.С., Самчелев Ю.П., Дрючин В.Г.	
Влияние дестабилизирующих факторов на работу источников питания с релейным управлением	463
Панкова О.О.	
Аналіз ефективності роботи електромеханіческої системи везу при изменении скорости ветрового потока.....	467
Саратовский Р.Н., Ушаков В.И., Ушаков Д.В.	
Аналіз результатов моделювання режимов роботи многоячайкового джерела живлення для індукціонного нагріву	471
Діденко В.О., Бондаренко О.Ф.	
Якість функціонування системи керування гідроприводом механізму хитання кристалізатора МБЛЗ	477
Говоров Ф.П., Говоров В.Ф., Король О.В.	
Підвищення надійності роботи вольтодобавальних трансформаторів з електронним управлінням у складі ESS	481
Говоров Ф.П., Говоров В.П., Король О.В.	
Повышение надежности работы вольтодобавочных трансформаторов с электронным управлением в составе ESS	
Щерба М.А.	
Влияние характера распределения влаги в СПЭ изоляции кабелей на электрофизические процессы ее деградации.....	485
Павлов Г. В., Обрубов А. В., Винниченко И. Л.,	
Преобразователь частоты на основе резонансного инвертора с нелинейным управлением	490
Мустафа Г.М., Гусев С.И., Ершов А.А., Луганская И.Б.	
Модульные многоуровневые преобразователи для симметрирования и фильтрации сетевого напряжения в окрестности тяговой подстанции переменного тока	495
Інформация.....	501
Мехович С.А.	
Мехатроніка у контексті регіональної промислової політики.....	502
Наши юбиляры	
До 75-річчя академіка НАН України Геннадія Г.П.	506
Садовой А.В. (к 70-летию со дня рождения)	507
Барский В.А. (к 80-летию со дня рождения).....	508
Аннотации	509
Сведения об авторах	542
Авторский указатель	571

A. П. КУШНІР, канд. техн. наук, доц. ЛДУБЖД;
В. М. ОКСЕНТЮК, канд. техн. наук, директор СКБ ЕМС НУ «ЛП»;
Т. О. СТЕФАНОВИЧ, канд. техн. наук, доц. НУ «ЛП»;
С. В. ЩЕРБОВСЬКИХ, д-р. техн. наук, с.н.с. НУ «ЛП»

МОДЕЛЬ НАДІЙНОСТІ ДЛЯ АНАЛІЗУ ПРИЧИН НЕПРАЦЕЗДАТНОСТІ СИСТЕМИ ПОВОРОТУ ПЛАТФОРМИ ПОЖЕЖНОГО АВТОПІДЙОМНИКА

Вступ. Для проведення рятувальних робіт та подачі вогнегасної речовини безпосередньо в осередок пожежі застосовують спеціальну пожежно-аварійну техніку, зокрема, висотні автопідйомники та автодрабини. До складу висотних автопідйомників та автодрабин входить велика кількість систем, від надійної роботи яких залежить життя та здоров'я рятувальників та потерпілих. Однією із таких систем є система повороту платформи, яка характеризується змінним моментом інерції, змінними статичним і динамічним навантаженням, великою масою. Непрацездатність цієї системи унеможливлює проведення пожежно-рятувальних робіт.

Постановка проблеми. Під час проектування нових та модернізації існуючих систем повороту платформи пожежного автопідйомника важливим етапом є забезпечення заданого рівня їх надійності [1]. Цей етап проектування зводиться не лише до визначення сумарного показника надійності, але й передбачає аналіз причин непрацездатності таких систем та розроблення рекомендацій щодо підвищення їх надійності. Базовою складовою системи повороту платформи є привод. В такій системі навантаження елементів гіdraulічного та ручного приводів залежить від стану гіdraulічного приводу. Якщо гіdraulічний привод працездатний, то ручний перебуває у ненавантаженому стані. Якщо гіdraulічний привод непрацездатний, то ті його елементи, які залишились працездатними, є ненавантаженими. Данна публікація присвячена актуальній проблемі підвищення точності аналізу причин непрацездатності системи повороту платформи шляхом врахування впливу зміни навантаження елементів, яке зумовлено зміною стану функціонування гіdraulічного приводу.

Аналіз останніх досліджень. Для визначення ймовірнісних характеристик причин непрацездатності систем виділяємо два підходи [2]. Перший ґрунтуються на складанні дерева відмов системи, яке аналізують логіко-ймовірнісним методом [3, 4]. Зміст цього підходу полягає у тому, що на основі дерева відмов складають логічні умови, які відповідають причинам непрацездатності системи, а потім їх перетворюють у ймовірнісні вирази. Такий підхід простий у застосуванні, проте на його основі не можна коректно враховувати процеси, пов'язані зі зміною навантаження елементів. Другий підхід базується на побудові динамічного дерева відмов системи, для аналізу якого застосовують кілька різних методів. Зокрема, в [5] динамічне дерево відмов перетворюють у мережу Петрі, кількісний аналіз якої виконують методом Монте-Карло. Недоліком цього методу є спотворення результатів моделювання стохастичними флюктуаціями, а також значні часові затрати на обчислення. В [6, 7] динамічне дерево відмов перетворюють у марковську модель, яку обчислюють чисельним методом. Недолік цього методу полягає у високій розмірності марковської моделі, а також у її обмеженні експоненціальним розподілом. Для послаблення обмеження експоненціальним розподілом необхідно застосовувати розщеплення простору станів [8–10], яке забезпечує адекватне врахування запам'ятовування передисторії напрацювання елементів системи за навантаженням.

У цій статті розв'язано такі завдання:

- математично описано надійність системи повороту платформи пожежного автопідйомника на основі динамічного дерева відмов;
- побудовано модель станів та подій і марковську модель системи повороту платформи;
- визначено кількісні характеристики причин непрацездатності системи повороту платформи.

Матеріали дослідження.

Опис системи та її динамічне дерево відмов. Нехай досліджувана у роботі система повороту платформи складена із п'яти елементів: гіdraulічний насос 1, гіdraulічний розподільник 2, гіdraulічний двигун 3, ручний привод 4 та редуктор 5. Структурна схема надійності системи подана на рис. 1.

Гіdraulічний привод, який складається із гіdraulічного насоса 1, гіdraulічного розподільника 2 та гіdraulічного двигуна 3, утворюють основну підсистему, а ручний привод 4 — резервну. Обидві підсистеми, незалежно одна від одної, можуть привести у рух шестерню редуктора 5, яка забезпечує обертання платформи пожежного автопідйомника. Якщо гіdraulічний привод працездатний, то ручний перебуває в холодному резерві. Вважаємо, що у холодному резерві ручний привод відмовити не може. Якщо гіdraulічний привод непрацездатний, то його функцію тимчасово виконує ручний привод, який переходить у навантажений режим.

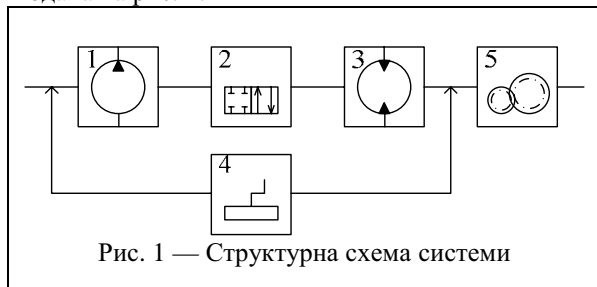


Рис. 1 — Структурна схема системи

Вважаємо, що у непрацездатному гідравлічному приводі ті елементи, які залишились працездатними, переходят у ненавантажений режим і відмовити у такому стані не можуть. Після ремонтування відновлений елемент за експлуатаційними характеристиками вважаємо аналогічним новому, а інші працездатні елементи такими, що мають попереднє напрацювання.

Формалізуємо надійність системи динамічним деревом відмов, структура якого подана на рис. 2. Динамічне дерево відмов є математичною моделлю, яка описує умову непрацездатності системи та умови зміни навантаження між її елементами на основі блоків, які позначають логічні операції та операції відношення.

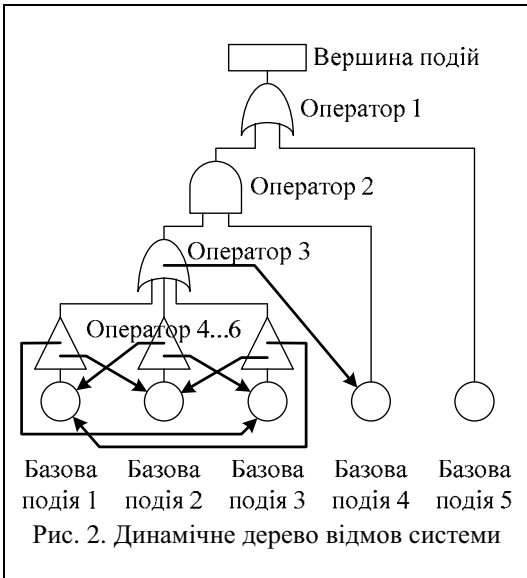


Рис. 2. Динамічне дерево відмов системи

за законом Вейбулла із параметрами α_4 і β_4 . В свою чергу, непрацездатність редуктора 5 позначено блоком «Базова подія 5», а його напрацювання до відмови розподілено за законом Вейбулла із параметрами α_5 і β_5 .

У системі відбуваються з точки зору надійності два динамічних явища:

- зміна навантаження ручного приводу залежно від стану гідравлічного приводу;
- зміна навантаження елементів гідравлічного приводу залежно від стану гідравлічного приводу в цілому.

Для опису первого явища задамо у блокі «Оператор 3» умови зміни навантаження. Якщо на вході цього блоку подається логічний сигнал ХИБНО, тобто гідравлічний привод працездатний, то інтенсивність процесу напрацювання ручного приводу 4, заданого блоком «Базова подія 4», становить 0.

Для опису другого явища введемо у структуру динамічного дерева відмов блоки «Оператор 4», «Оператор 5» та «Оператор 6», які є повторювачами логічного сигналу, і задамо у них умови зміни навантаження. Якщо на вході блоку «Оператор 4» подається логічний сигнал ІСТИННО, тобто гідравлічний насос 1 непрацездатний, то інтенсивність процесу напрацювання гідравлічного розподільника 2, заданого блоком «Базова подія 2» та гідравлічного двигуна 3, заданого блоком «Базова подія 3», становить 0. Для двох наступних повторювачів формуємо логічні умови зміни навантаження за аналогією. Якщо на вході блоку «Оператор 5» подається логічний сигнал ІСТИННО, тобто гідравлічний розподільник 2 непрацездатний, то інтенсивність процесу напрацювання гідравлічного насоса 1, заданого блоком «Базова подія 1», та гідравлічного двигуна 3, заданого блоком «Базова подія 3», становить 0. I, відповідно, якщо на вході блоку «Оператор 6» подається логічний сигнал ІСТИННО, тобто гідравлічний двигун 3 непрацездатний, то інтенсивність процесу напрацювання гідравлічного насоса 1, заданого блоком «Базова подія 1», та гідравлічного розподільника 2, заданого блоком «Базова подія 2», становить 0.

Модель станів та подій. На підставі поданого вище динамічного дерева відмов системи згідно із формалізованими правилами [10] складено модель станів та подій системи повороту платформи. Така модель є математичним описом станів, в яких може перебувати система, та подій, які у ній можуть відбуваються, у проекційному зв’язку до процесів, що у ній протікають. Граф такої моделі подано на рис. 3, а її параметри у табл. 1. У моделі станів та подій процеси напрацювання і ремонтування для гідравлічного насоса 1 позначено як P_1 та P_6 , для гідравлічного розподільника 2 — P_2 та P_7 та для гідравлічного двигуна 3 — P_3 та P_8 . Процес напрацювання для ручного приводу 4 позначено як P_4 та для редуктора — P_5 . Оскільки відмова ручного приводу та редуктора призводить одразу до катастрофічної відмови системи, то ремонтування цих елементів у даній моделі не розглядаємо. На рис. 3 працездатні стани системи позначені колом, яке зафарбоване білим, а непрацездатні стани — колом, яке зафарбоване сірим. Система перебуває в одинадцяти станах, із яких чотири відповідають працездатності — S_8 — S_{11} . Непрацездатні стани згруповано у чотири множини C_1 — C_4 , кожна із яких відповідає окремій причині непрацездатності системи. Перша множина C_1 відповідає непрацездатності системи внаслідок відмови гідравлічного двигуна та ручного приводу. В таку множину входить один непрацездатний стан S_7 . Друга множина C_2 — внаслідок відмови гідравлічного розподільника та ручного приводу, і включає один непрацездатний стан S_6 ; третя множина C_3 — внаслідок відмови гідравлічного двигуна та ручного

приводу, і включає один непрацездатний стан S_5 ; та четверта множина C_4 — внаслідок відмови редуктора, і включає чотири непрацездатних стани S_1 — S_4 .

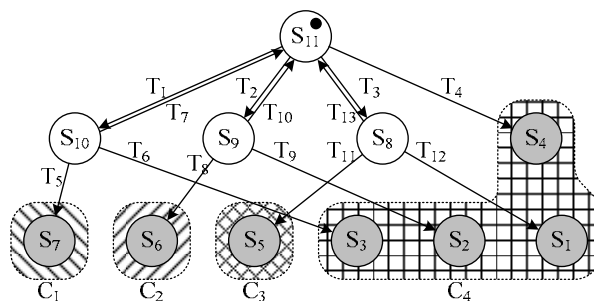


Рис. 3. Граф станів та переходів системи

У системі відбувається тринадцять подій, із яких сім спричиняють катастрофічну відмову — T_4 , T_5 , T_6 , T_8 , T_9 , T_{11} та T_{12} . Параметрами станів є значення коєфіцієнтів масштабування для процесів P_1 – P_8 та логічна функція y , яка набуває значення «1», якщо система працездатна, та «0» — якщо ні. Параметрами подій є назва початкового стану, назва процесу, який завершився, та назва кінцевого стану.

Таблиця 1 — Параметри моделі станів та подій системи

№	Опис станів								Опис подій				
	Поч. стан	Графічний опис стану	Коефіцієнти масштабування							у	Назва події	Заверш. процес	Кінц. стан
			P ₁	P ₂	P ₃	P ₄	P ₅	P ₆	P ₇				
1	S ₁₁		1	1	1	0	1	0	0	0	T ₁	P ₁	S ₁₀
2											T ₂	P ₂	S ₉
3											T ₃	P ₃	S ₈
4											T ₄	P ₅	S ₈
5	S ₁₀		0	0	0	1	1	0	0	0	T ₅	P ₄	S ₃
6											T ₆	P ₅	S ₇
7											T ₇	P ₆	S ₈
8	S ₉		0	0	0	1	0	1	0	0	T ₈	P ₄	S ₂
9											T ₉	P ₅	S ₇
10											T ₁₀	P ₇	S ₈
11	S ₈		0	0	0	1	0	0	1	0	T ₁₁	P ₄	S ₁
12											T ₁₂	P ₅	S ₇
13											T ₁₃	P ₈	S ₈
14	S ₇		0	0	0	0	0	0	0	0	—	—	—
15	S ₆		0	0	0	0	0	0	0	0	—	—	—
16	S ₅		0	0	0	0	0	0	0	0	—	—	—
17	S ₄		0	0	0	0	0	0	0	0	—	—	—
18	S ₃		0	0	0	0	0	0	0	0	—	—	—
19	S ₂		0	0	0	0	0	0	0	0	—	—	—
20	S ₁		0	0	0	0	0	0	0	0	—	—	—

Грунтуючись на моделі станів та подій системи повороту платформи на основі тензорних виразів [10] сформована розщеплена однорідна марковська модель, яка містить 352 диференціальних рівняння.

Ймовірнісні характеристики системи. Значення параметрів для елементів системи повороту платформи взято такими: $\alpha_1 = 4\,000$ год., $\alpha_2 = 6\,000$ год., $\alpha_3 = 5\,000$ год. $\beta_1 = \beta_2 = \beta_3 = 1.2$; $\alpha_4 = 3\,000$ год., $\beta_4 = 1.3$; $\alpha_5 = 200\,000$ год., $\beta_4 = 1.1$, інтенсивність відновлення $\mu = 0.02$ 1/год. На основі розщепленої однорідної марковської моделі обчислено ймовірнісні характеристики причин непрацездатності системи, які подано на рис. 4, а ймовірнісні показники для тривалості експлуатації 10 000 год. — у табл. 2. Крива 1 відповідає ймовірності непрацездатності системи внаслідок відмови гіdraulічного насоса та ручного приводу, крива 2 — гіdraulічного розподільника та ручного приводу, крива 3 — гіdraulічного двигуна та ручного приводу і крива 4 — редуктора. На підставі одержаних ймовірнісних показників робимо висновок, що для зменшення ймовірності непрацездатності системи повороту платформи для моменту часу 10 000 год. необхідно вжити заходів щодо підвищення безвідмовності редуктора, оскільки його відмова є найімовірнішою причиною відмови системи із відносною вагою 46.55 %.

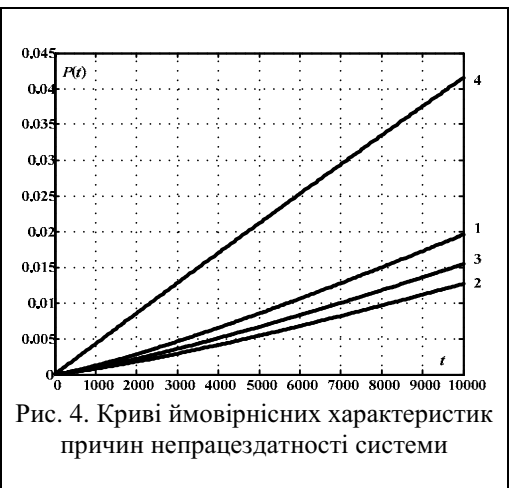


Рис. 4. Криві ймовірнісних характеристик причин непрацездатності системи

Таблиця 2 — Ймовірнісні показники причини непрацездатності системи

№	Опис причини непрацездатності		Ймовірність причини	Відносна вага причини
	За елементами	За станами		
C ₄	Редуктор	S ₁ –S ₄	0.041530	46.55 %
C ₁	Гіdraulічний насос — ручний привод	S ₇	0.019563	21.93 %
C ₃	Гіdraulічний двигун — ручний привод	S ₅	0.015435	17.30 %
C ₂	Гіdraulічний розподільник — ручний привод	S ₆	0.012684	14.22 %

Висновки. У статті розроблено математичну модель надійності системи повороту платформи пожежного автопідйомника, призначену для кількісного аналізу причин її непрацездатності. Надійність системи математично описано динамічним деревом відмов, в якому задано логічні умови зміни навантаження елементів системи залежно від стану гіdraulічного приводу. Ймовірнісні характеристики системи визначено за марковською моделлю, в якій на основі тензорних виразів розщеплення простору станів враховано зміну навантаження між елементами системи, тривалість напрямовання до відмови яких розподілена за законом Вейбулла. Показано, що найімовірнішою причиною непрацездатності системи є відмова редуктора.

Подальші дослідження скеровані на розроблення уdosконаленої моделі надійності системи повороту платформи, в якій буде враховано такі елементи, як резервний ручний насос та обладнання, яке приводить у рух гіdraulічний насос.

Список літератури: 1. Автодрабини пожежні. Загальні технічні вимоги та методи випробування (EN 14043:2005, IDT): ДСТУ EN 14043:2008. — [Чинний від 2008-12-26]. — К., Держпоживстандарт України, 2008. — 176 с. 2. Chiacchio F. Dynamic fault trees resolution: A conscious trade-off between analytical and simulative approaches [Text] / F. Chiacchio, L. Compagno, D. D'Urso, et al. // Reliability Engineering & System Safety. — 2011. — Vol. 96, No. 11. — P. 1515–1526. 3. Vega M. Algorithm to evaluate substation reliability with cut and path sets [Text] / M. Vega, H. G. Sarmiento // Industry Applications, IEEE Transactions on. — 2008. — Vol. 44, No. 6. — P. 1851–1858. 4. Wei-Chang Yeh. A new algorithm for generating minimal cut sets in k-out-of-n networks [Text] / Wei-Chang Yeh // Reliability Engineering & System Safety. — 2006. — Vol. 91, No 1. — P. 36–43. 5. Khanh Nguyen T. P. Method for evaluating an extended Fault Tree to analyse the dependability of complex systems: Application to a Satellite-based railway system [Text] / T. P. Khanh Nguyen, Julie Beugina, Juliette Marais // Reliability Engineering & System Safety. — 2015. — Vol. 133. — P. 300–313. 6. Manno G. Conception of Repairable Dynamic Fault Trees and resolution by the use of RAATSS, a Matlab® toolbox based on the ATS formalism [Text] / G. Manno, F. Chiacchio, L. Compagno, D. D'Urso, N. Trapani // Reliability Engineering & System Safety. — 2014. — Vol. 121, No 1. — P.250–262. 7. Daniele Codetta-Raiteri. Integrating several formalisms in order to increase Fault Trees' modeling power [Text] / Daniele Codetta-Raiteri // Reliability Engineering & System Safety. — 2011. — Vol. 96, No. 5. — P. 534–544. 8. Shcherbovskykh S. Failure intensity determination for system with standby doubling [Text] / S. Shcherbovskykh, O. Lozynsky, Ya. Marushchak // Przeglad Elektrotechnicznny. — 2011. — Vol. 87, No 5. — P. 160–162. 9. Mandziy B. Mathematical model for failure cause analysis of electrical systems with load-sharing redundancy of component [Text] / B. Mandziy, O. Lozynsky, S. Shcherbovskykh // Przeglad Elektrotechnicznny. — 2013. — Vol. 89, No 11. — P. 244–247. 10. Щербовських С. В. Математичні моделі та методи для визначення характеристик надійності багатотермінальних систем із урахуванням перерозподілу навантаження: монографія [Текст] / С. В. Щербовських. — Львів: Вид-во Львівської політехніки, 2012. — 296 с.

Bibliography (transliterated): 1. Fire Alarm Systems and notification. Part 14. Guidelines for building, designing, installing, commissioning, operating manual and maintenance (CEN/TS 54-14: 2004, IDT). DSTU-H CEN/TS 54-14: 2009 (2004) Kyiv: Derzspozuvstandart of Ukraine, 2004. 2. Chiacchio, F., Compagno, L., D'Urso, D. et al. (2011). Dynamic fault trees resolution: A conscious trade-off between analytical and simulative approaches, Reliability Engineering & System Safety, 96, 11, 1515–1526. 3. Vega, M., Sarmiento, H. G. (2008). Algorithm to evaluate substation reliability with cut and path sets, Industry Applications, IEEE Transactions on, 44, 6, 1851–1858. 4. Wei-Chang Yeh. (2006). A new algorithm for generating minimal cut sets in k-out-of-n networks, Reliability Engineering & System Safety, 91, 1, 36–43. 5. Khanh Nguyen, T. P., Julie Beugina, Juliette Marais. (2015) Method for evaluating an extended Fault Tree to analyse the dependability of complex systems: Application to a satellite-based railway system, Reliability Engineering & System Safety, 133, 300–313. 6. Manno, G., Chiacchio, F., Compagno, L., D'Urso, D., Trapani, N. (2014). Conception of Repairable Dynamic Fault Trees and resolution by the use of RAATSS, a Matlab® toolbox based on the ATS formalism. Reliability Engineering & System Safety, 121, 1, 250–262. 7. Daniele Codetta-Raiteri. (2011). Integrating several formalisms in order to increase Fault Trees' modeling power. Reliability Engineering & System Safety, 96, 5, 534–544. 8. Shcherbovskykh, S., Lozynsky, O., Marushchak, Ya. (2011). Failure intensity determination for system with standby doubling. Przeglad Elektrotechnicznny, 87, 5, 160–162. 9. Mandziy, B., Lozynsky, O., Shcherbovskykh, S. (2013). Mathematical model for failure cause analysis of electrical systems with load-sharing redundancy of component. Przeglad Elektrotechnicznny, 89, 11, 244–247. 10. Shcherbovskykh, S. (2012). Matematichni modeli ta metodi dlya viznachennya karakteristik nadiynosti bahatoterminalnih system iz urahuvannym pererozpodilu navantazhennya: monohrafiya, Lviv, Vidavnitstvo Lvivska Politehnika, 296.

Надійшила (received) 30.06.2015